



$$\div 2\{\phi(x_0, t_2) - 2\phi(x_1, t_2) + \phi(x_2, t_2) + 4\phi(x_0, t_1) - 8\phi(x_1, t_1) + 4\phi(x_2, t_1) \\ + \phi(x_0, t_0) - 2\phi(x_1, t_0) + \phi(x_2, t_0)\}$$

ここで、 $a$ は温度伝導率、 $\Delta t$ 、 $\Delta x$ は各々時間刻み、空間刻みを示す。また、SF 33 の値はフーリエ数に対応している。

## 2.2 数値補間法の応用による同定式 (ISF 33)

スプライン関数法を、時間方向に合式した温度伝導率の同定式は次式に示される。

$$ISF\ 33 = a \frac{\Delta t}{(\Delta x)^2} = \begin{pmatrix} 5 & 38 & 5 \\ 0 & 0 & 0 \\ -5 & -38 & -5 \end{pmatrix} \left/ \begin{matrix} 1 & -2 & 1 \\ 16 & 4 & -8 \\ 1 & -2 & 1 \end{matrix} \right. \quad \dots\dots(2)$$

## 2.3 差分法の応用による同定式 (FD 32)

差分法を応用し、Crank-Nicolson 法による温度伝導率の同定式 (FD 32) は次式に示される。

$$FD\ 32 = 2 \begin{Bmatrix} 0 & 1 & 0 \\ 0 & -1 & 0 \end{Bmatrix} \left/ \begin{Bmatrix} 1 & -2 & 1 \\ 1 & -2 & 1 \end{Bmatrix} \right. \quad \dots\dots(3)$$

## 2.4 片山法による同定式 (K-method)

本提案の温度伝導率の同定法の精度を検討するために、従来の方法として片山ら<sup>12)</sup>による方法を用いた。片山法による温度伝導率の同定式は次式で示される。

$$\frac{\phi(\Delta xt)}{\phi(\Delta x=0, t)} = \exp(-\xi^2) - \sqrt{\pi}\xi \operatorname{erfc}\xi \quad \dots\dots(4)$$

$$\xi = \Delta x / 2\sqrt{at} \quad \dots\dots(5)$$

$$\phi(x, t) = \frac{2}{\sqrt{\pi}} \frac{q_0}{\sqrt{\lambda C_p r}} \sqrt{t} \left\{ \exp\left(-\frac{x^2}{4at}\right) - \sqrt{\pi} \frac{x}{2\sqrt{at}} \operatorname{erfc} \frac{x}{2\sqrt{at}} \right\} \quad \dots\dots(6)$$

ここで、 $\lambda$ 、 $C_p$ 、 $r$ 、 $q_0$  は各々熱伝導率、比熱、比重量および熱流を示す。

## § 3. 温度伝導率の同定装置の概要

図-1 のブロック図に示されるような片山法に準拠した装置を試作し、測定した。

試料は、ポリカーボネートで 5 mm × 98 mm × 98 mm の大きさのものを用いた。温度センサとして、0.127 mm φ の銅-コンスタンタン熱電対を用いた。較正曲線は、5次の多項式回帰式を用いた。

いずれも、相関係数  $r$  は  $r > 0.9998$  であった。

雰囲気の温度を一定に保持するために、±0.5°C の精度を持つ恒温槽に設置した。熱電対の出力にはペンレコーダーを用い、読み取り誤差は 2/1000 mV (約 0.05°C) 程度である。

ヒータは厚み 0.02 mm のニクロムはくを用い、与えた熱流は 10.46 アンペア、0.858 ボルトの直流である。

熱電対埋設位置には、密着性を良くするために 0.22 mm のポリエチレンシートを用いた。

## § 4. 本研究の方法

本研究の流れは図-2 に示される。

最初に、ポリカーボネート試料を用いて H-method と K-method との差(δ)が考察された。次に、K-method によって得られた熱伝導率、ヒータの熱流等をポリカーボネート試料を用いた実験に即して仮定し、式(6)に示される厳密解が解かれた。

その温度分布を実際の温度分布と仮定し、H-method による温度伝導率の同定が行なわれ、H-method の同定精度、同定領域の確認が行なわれた。

## § 5. 温度伝導率の同定結果

### 5.1 ポリカーボネート試料を用いた実験結果

ポリカーボネート試料に熱流を与えたときの、各点の温度応答を図-3 に示す。

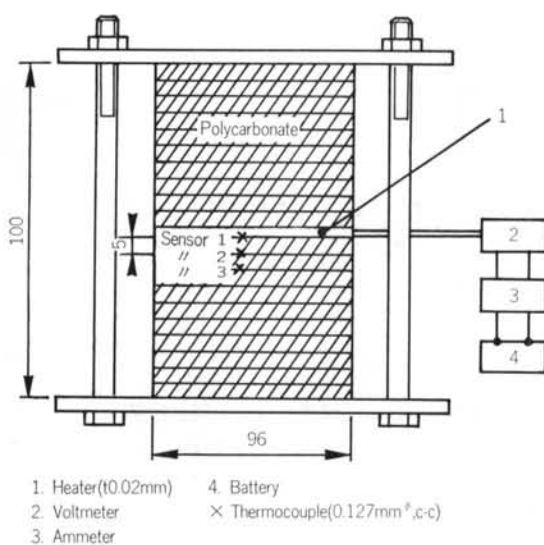


図-1 実験装置

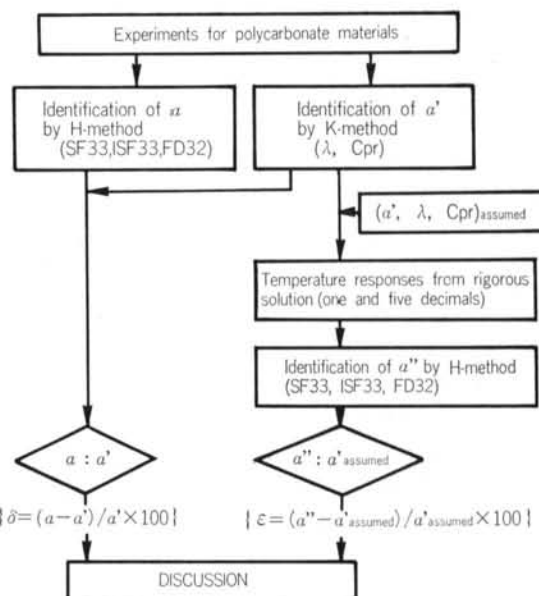


図-2 本研究のフロー

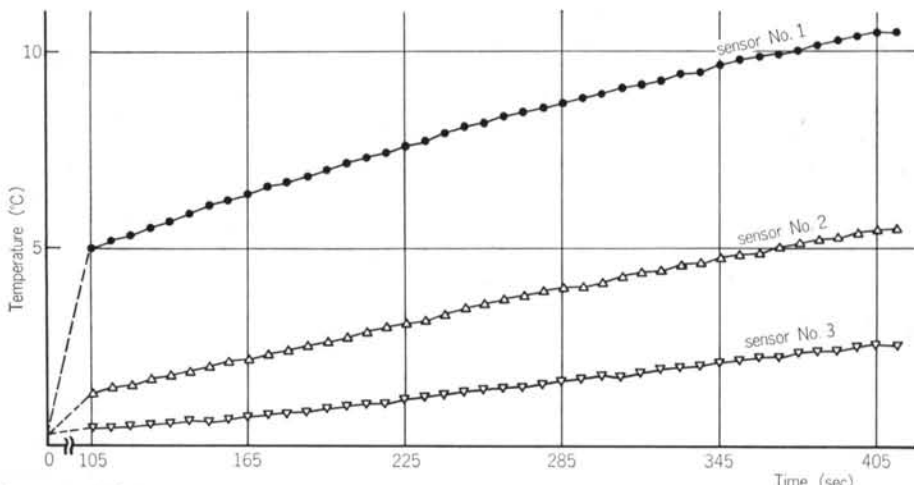


図-3 各センサの温度応答

K-method による温度伝導率の同定結果、およびその標準偏差は各々  $\alpha = 4.696 \times 10^{-4} (\text{m}^2/\text{hr})$ ,  $s = 6.959 \times 10^{-6} (\text{m}^2/\text{hr})$  であった (図-4)。

平均フーリエ数 ( $\bar{F}_0$ ) および H-method と K-method による温度伝導率の差 ( $\delta$ ) は、図-5 に示される。

ここで、温度伝導率の同定差 ( $\delta$ ) は次のように定義した。

$$\delta = (a_{\text{H-method}} - a_{\text{K-method}}) / a_{\text{K-method}} \times 100 \quad (\%)$$

また、平均フーリエ数 ( $\bar{F}_0$ ) は次によるものとした。

$$\bar{F}_0 = \frac{1}{n} \sum_{i=1}^n SF33_i, ISF33_i, FD32_i$$

同定された温度伝導率の標準偏差 ( $s$ ) と平均フーリ

エ数 ( $\bar{F}_0$ ) の関係を図-6 に示す。ここに示されるサンプリング値は、K-method で示される  $1/3 \leq \xi \leq 2/3$  で、105~412.5 sec 間である。

本提案の温度伝導率の同定式 SF33, ISF33, FD32 は、従来の方法 (K-method) と比較して各々  $\delta = 0.5 \sim 1.2 \%$ ,  $\delta = 1.6 \sim 2.2 \%$ ,  $\delta = 3.0 \sim 4.2 \%$  の良い精度で一致していることが認められた。図-6 より K-method による温度伝導率のばらつきに比べ、平均フーリエ数 ( $\bar{F}_0$ ) が 0.5 以上のところで、提案された同定式 (SF33, ISF33) の方が小さいばらつきを示す結果が得られている。

図-6 より、同定された温度伝導率のばらつきは、平均フーリエ数 ( $\bar{F}_0$ ) が 0.5 以下のところで大きくなる傾

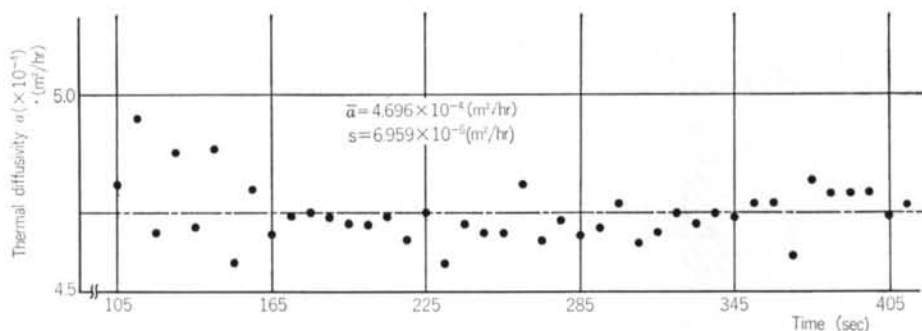


図-4 K-method による温度伝導率の同定結果

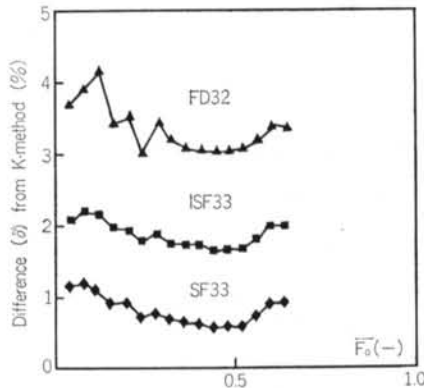


図-5 H-method と K-method による温度伝導率の同定差

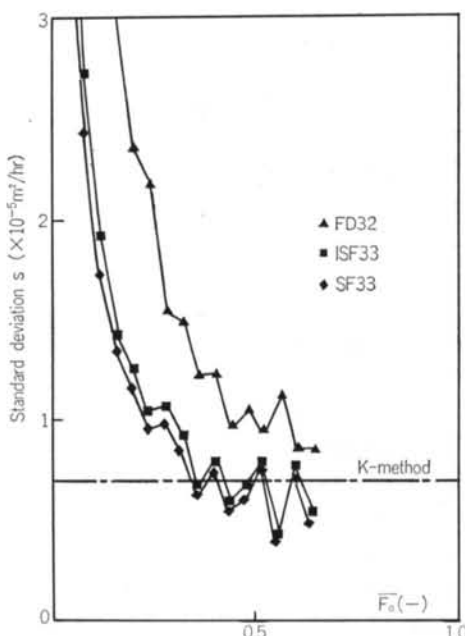


図-6 同定された温度伝導率の標準偏差  
向を示していることが分かる。また、提案された同定式のうちFD 32のばらつきが大きいことが分かる。

## 5.2 数値実験による温度伝導率の同定結果

数値実験による温度伝導率の同定結果およびばらつきを図-7、図-8に示す。同定に用いられた温度の値は実験値の代わりに式(6)の厳密解の温度であり、仮定した温度伝導率、熱伝導率、熱流は5.1のポリカーボネート試料を用いた実験結果、およびK-methodによる同定結果の値を用いた。厳密解の温度として、 $10^{-5}$ 桁と $10^{-1}$ 桁のものを用いて数値実験を行なった。サンプリング区間は0~772.0秒で、最少時間刻みは7.5秒とした。温度伝導率の同定誤差( $\varepsilon$ )を次で示した。

$$\varepsilon = (a_{H\text{-method}} - a_{assumed}) / a_{assumed} \times 100 \quad (\%)$$

ここで、 $a_{assumed}$ は仮定した温度伝導率である。

図-7より、 $10^{-5}$ 桁と $10^{-1}$ 桁の温度を用いた温度伝導率の同定誤差の傾向は、各々の提案された同定式(SF 33, ISF 33, FD 32)に一致していることが分かる。

図-5と図-7のK-methodとの差( $\delta$ )と同定誤差( $\varepsilon$ )を比較すると、いずれもその値の大きい方からFD 32, ISF 33, SF 33となり、一致している。

同定誤差( $\varepsilon$ )は同定式ISF 33の場合が一番小さく、FD 32の同定誤差はプラス側、SF 33同定誤差はマイナス側であり、したがってポリカーボネート試料の温度伝導率は、図-5において $\delta$ が+2%程度であろうと推論される。

また、同定式SF 33, ISF 33の同定誤差( $\varepsilon$ )は、平均フーリエ数( $\bar{F}_0$ )が1.5以下では一定の値を示していることが認められる。

図-8には数値実験による温度伝導率のばらつきが示されるが、 $10^{-5}$ 桁の温度を用いた場合より $10^{-1}$ 桁の方が大きい値を示すが、この値は図-6に示されるポリカーボネート試料の温度伝導率のばらつきより大きくなっている。したがってポリカーボネート試料の同定精度は $10^{-1}$ 桁を用いた同定より良いと考えられる。

図-8より、同定式SF 33, ISF 33のばらつきは $10^{-1}$ 桁の温度を用いた場合、平均フーリエ数( $\bar{F}_0$ )が0.5~

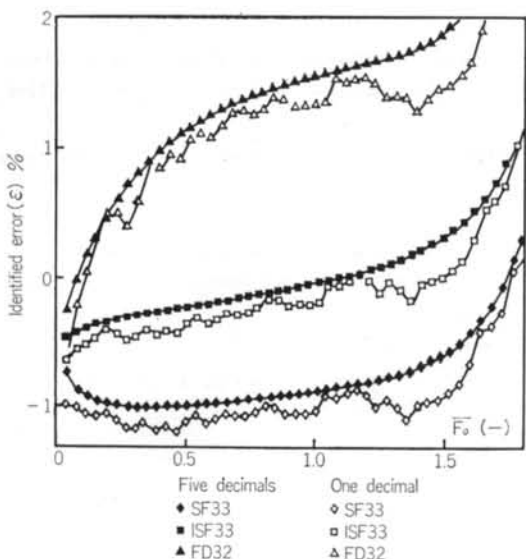


図-7 数値実験による温度伝導率の同定誤差

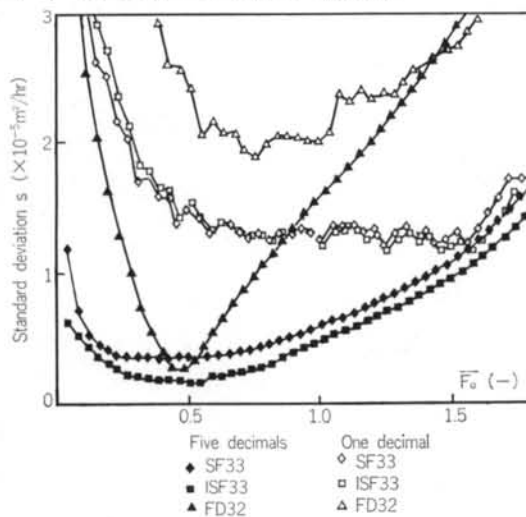


図-8 数値実験による温度伝導率のばらつき  
1.5 の間で、最小となっている。

同定式 FD 32 のばらつきは  $10^{-1}$  枠の温度を用いた場合、平均フーリエ数 ( $\bar{F}_0$ ) が 0.5 で最小となり、 $10^{-1}$  枠の温度を用いた場合、平均フーリエ数 ( $\bar{F}_0$ ) が 0.5~1.0 で最小となっている。

## § 6. 考察

本報告で提案された温度伝導率の同定式 (SF 33, ISF 33, FD 32) のうち、SF 33, ISF 33 による値が従来の片山法に最も良く一致しており、また、そのばらつきも小さい。したがって、温度伝導率の同定には SF 33, ISF 33 が適していると考えられる。また、これらの同定式のばらつきは平均フーリエ数 ( $\bar{F}_0$ ) が  $0.5 \leq \bar{F}_0 \leq 1.5$  の範囲で一番小さくなっている、温度伝導率の同定条件となることが考察される。

また、温度伝導率の同定式に FD 32 を用いる場合、平均フーリエ数 ( $\bar{F}_0$ ) が  $0.5 \leq \bar{F}_0 \leq 1.0$  の範囲が同定条件となる。

これらの結果は、前報告論文<sup>11)</sup>に示される数値実験の結果と良く一致している。

## § 7. 結論

本提案の離散化近似式に基づく温度伝導率の同定法は従来の同定法に比べ、3~4%の誤差の精度で一致し、その同定式のうちスプライン関数法、数値補間法による同定式 ISF 33, SF 33 は、1~2%の誤差の精度で一致している。したがって、本提案による温度伝導率の同定法が十分な精度を有していると結論される。

また、差分法の応用による同定式 FD 32 より、ISF 33, SF 33 の方がばらつきが小さいことから、同定式 ISF 33, SF 33 の方が温度伝導率の同定法として有効である。

温度伝導率の同定式 ISF 33, SF 33 を用いる場合の適用条件は平均フーリエ数 ( $\bar{F}_0$ ) が 0.5~1.5 の範囲内であること、同定式 FD 32 を用いる場合適用条件は平均フーリエ数 ( $\bar{F}_0$ ) が 0.5~1.0 の範囲内であることが結論される。

## § 8. 今後の課題

これらの実験結果を数値実験により再確認したいと考えている。さらに、逐次数值積分法による同定式等の提案、精度の確認を行なっていきたいと考えている。

謝辞 この実験にあたり、志鎌君、高野君、岡田君らの協力を得た。謝意を表する。

## <参考文献>

- 1) T. Hane: "A Method for the Multidimensional Thermal Diffusivity Measurement by Means of the Variational Approximate Method and Multiple Linear Regression Analysis" Proceedings of 1st Japan Symposium on Thermophysical Properties (1980)
- 2) T. Hane: "System Identification of Multidimensional Thermal Diffusivity for Actual Structures (I)" Proceedings of 2nd Japan Symposium on Thermophysical Properties (1981)
- 3) T. Hane: "同上(III)" (1982)
- 4) 羽根: "変分法および重回帰分析法による多次元方向の温度伝導率の算定" 清水建設研究所報 第34号 (1981年)
- 5) 羽根: "原位置での多次元方向温度伝導率の同定法(その1)" 清水建設研究所報 第35号 (1982年)
- 6) 羽根: "同上(その2)" 清水建設研究所報 第36号 (1982年)
- 7) 羽根: "重回帰分析法による温度伝導率の算定" 日本建築学会秋季大会(近畿) (昭和55年9月)
- 8) 羽根: "実構造体における多次元方向温度伝導率のシステム同定(その1)" 日本建築学会論文報告集 (1982年8月)
- 9) 羽根: "同上(その2)" (投稿中)
- 10) 羽根: "同上(その3)" (投稿中)
- 11) 羽根: "同上(その4)" 日本建築学会秋季大会(東北) (昭和57年10月)
- 12) 片山他: "非定常熱伝導による熱的物性値測定法" 日本機械学会論文報告集 (1968年)
- 13) Carslow & Jaeger: "Conduction of Heat in Solids" Clarendon Press (1959)